VДК 591.1.04+591.81

БИОФИЗИКА

А. В. ЗОРИН, Н. А. ИСАНИН, А. Ю. ЯКОВЛЕВ

ИССЛЕДОВАНИЕ КИНЕТИКИ ПЕРЕХОДА КЛЕТОК К СИНТЕЗУ ДНК В РЕГЕНЕРИРУЮЩЕЙ ПЕЧЕНИ

(Представлено академиком А. Л. Курсановым 12 II 1973)

Системы со стимулированной пролиферацией, как, например, регенерирующая печень млекопитающих, представляют собой очень удобные объекты для изучения механизмов, контролирующих клеточное размножение и дифференциацию. Однако используемые в настоящее время показатели клеточной кинетики в таких системах не воссоздают детальной картины вступления клеток в фазу синтеза ДНК и другие фазы митотического цикла. Дальнейшим шагом вперед могло бы быть построение на основе имеющихся экспериментальных возможностей каких-либо более удобных и информативных критериев, позволяющих оценивать динамическую организацию пролиферативных процессов. В настоящей работе предлагается один из таких критериев, способ его нахождения и применения к конкретным опытным данным на примере регенерирующей печени крысы.

Введем в рассмотрение функцию времени q(t), под которой будем понимать отношение числа клеток, вступивших в некоторую фазу клеточного цикла за время t (отсчитываемое от момента нанесения стимулирующего воздействия — частичной гепатэктомии), к общему числу клеток в момент t=0 (т. е. числу клеток, оставшемуся в печени после гепатэктомии). По отношению к S-фазе эта функция записывается в виде

$$q_{S}(t) = \int_{0}^{t} k_{1S}(\tau) d\tau / n(0),$$
 (1)

где $k_{4S}(t)$ — скорость вступления клеток в S-фазу, n(0) — начальное общее число клеток. Ясно, что диференцированием $q_{S}(t)$ нетрудно получить в явном виде и скорость вступления клеток в S-фазу, нормированную на начальное число клеток.

Измерить критерий $q_{\rm S}(t)$ в прямом эксперименте невозможно, но он может быть построен методами математического моделирования. Будем полагать, что числом клеток в S-фазе интактной печени можно пренебречь по сравнению с их числом в регенерирующей печени. Тогда на основе тех же соображений, которые были использованы в модели установившегося состояния клеточной кинетики $\binom{1}{2}$, можно написать

$$n_{\rm S}(t) = \int_0^1 k_{\rm 1S}(\tau) \left[1 - \varphi_{\rm S}(t - \tau)\right] d\tau, \tag{2}$$

где $n_s(t)$ — число клеток S-фазы регенерирующей печени, $\phi_s(u)$ — функция распределения клеток по длительности S-фазы. Производя интегрирование в (2) по частям и учитывая обозначение (1), приходим к интегральному уравнению II рода относительно функции $q_s(t)$

$$J_{S}^{*}(t) = q_{S}(t) - \int_{0}^{t} q_{S}(\tau) f_{S}(t-\tau) d\tau, \tag{3}$$

где $J_S(t) = \frac{n_S(t)}{n(0)}$ подобно индексу метки $J_S(t) = \frac{n_S(t)}{n(t)}$ отражает долю клеток, синтезирующих ДНК, но по отношению к числу клеток печени сразу после гепатэктомии. Плотность распределения клеток по длительности

 $f_s(u) = \phi_s'(u)$, как отмечалось ранее (1), может быть аппроксими-

$$a = \overline{\tau}_{S}^{2} | \sigma_{S}^{2}; \quad \beta = \overline{\tau}_{S} | \sigma_{S}^{2}; \tag{4}$$

5 — средняя длительность S-фазы, σ_s² — дисперсия длительности S-фазы. Адалитическое решение уравнения (3) с ядром (4) может быть получено помощью одностороннего преобразования Лапласа в предположении, что принимает лишь целые значения. При α целом нечетном решение представляется в виде

$$q_{S}(t) = J_{S}^{*}(t) + \frac{\beta}{\alpha} \int_{0}^{t} J_{S}^{*}(\tau) d\tau + \frac{2\beta}{\alpha} \sum_{k=1}^{\frac{\alpha-1}{2}} \int_{0}^{t} J_{S}^{*}(t - \tau) e^{-\beta\tau \left(1 - \cos\frac{2\pi}{\alpha} k\right)} \cos\left(\frac{\alpha - 1}{\alpha} 2\pi k - \beta\tau \sin\frac{2\pi}{\alpha} k\right) d\tau, \quad (5)$$

а при с целом четном в виде

$$q_{S}(t) = J_{S}^{*}(t) + \frac{\beta}{\alpha} \int_{0}^{t} J_{S}^{*}(\tau) d\tau - \frac{\beta}{\alpha} e^{-2\beta t} \int_{0}^{t} J_{S}^{*}(\tau) e^{2\beta \tau} d\tau + \frac{2\beta}{\alpha} \sum_{k=1}^{2} \int_{0}^{t} J_{S}^{*}(t - \tau) e^{-\beta \tau} \left(1 - \cos\frac{2\pi k}{\alpha}\right) \cos\left(\frac{\alpha - 1}{\alpha} 2\pi k - \beta \tau \sin\frac{2\pi}{\alpha} k\right) d\tau.$$
 (6)

Уравнение (3) характеризует корректно поставленную задачу, и погрешность решения $q_{\varepsilon}(t)$ определяется погрешностью экспериментально заданной функции $J_{s}^{*}(t)$ при фиксированных α и β . На ранних сроках регенерации (при малых t), когда клеточные деления в печени практически отсутствуют, график функции $q_{\rm s}(t)$ должен совпадать с кривой индекса метки при непрерывном (многократном) введении H^3 -тимидина $J_{\mathrm{S}^c}(t)$. Возможности повторного вступления в S-фазу, что не учитывается показателем $J_{\mathrm{S}}^{\,\mathrm{c}}(t)$, и деления клеток являются причинами принципиального различия между кривыми $q_s(t)$ и $J_{s^c}(t)$ на более поздних сроках регенерации. Добиваясь наилучшего совпадения этих кривых на начальном который характеризуется условием $n(t) \approx n(0)$, можно определить временные параметры S-фазы: тв и ов, поскольку выполняется равенство $J_{
m s}^*(t)=J_{
m s}(t)$ и оптимизация проводится только по параметрам lpha и eta. Оптимизация параметров на ЭЦВМ «Наири-2» по экспериментальным кривым $J_{\rm S}(t)$ и $J_{\rm S}^{\rm c}(t)$ (4 , 5) привела к значениям $\bar{\tau}_{\rm S}=10$ час., $\sigma_{\rm S}=2.5$ часа для регенерирующей печени крыс линии Мак-Коллум. Полученные таким образом параметры могут быть теперь использованы в формулах (5) и (6). Для окончательного нахождения показателя $q_{\mathrm{s}}(t)$ необходимо определить $J_{
m s}^*(t)$ по экспериментальной кривой $J_{
m s}(t)$, т. е. внести поправку на клеточное размножение, учитывая митотический индекс $J_{\scriptscriptstyle{M}}(t) = n_{\scriptscriptstyle{M}}(t) / n(t)$. В наших расчетах использовался следующий приближенный прием. Приведенные в литературе (6) и наши собственные данные по измерению длительности митоза методом цейтраферной микрокиносъемки на различных культурах клеток, а также обработка кривых клеточной кинетики для некоторых эпителиальных тканей in vivo показывают, что практически всегда длительность видимого митоза имеет среднее значение 0,2-1 час с коэффициентом вариации около 0,5. При такой большой вариабельности и малом среднем (по сравнению с длительностью всего цикла) длительности митоза можно положить

$$dn(t) / dt = n_{\mathsf{M}}(t) / \bar{\tau}_{\mathsf{M}}, \tag{7}$$

т. е. пренебречь возрастной зависимостью процесса выхода клеток из тоза. Следовательно,

$$J_{S}^{*}(t) = J_{S}(t) e^{\frac{1}{\bar{\tau}_{M}} \int_{0}^{t} J_{M}(\tau) d\tau}.$$

Теперь подстановкой (8) в (5) и (6) окончательно завершаем построение критерия $q_s(t)$. С использованием экспериментальных данных Фабриканте (3), по кривым $J_s(t)$ и $J_m(t)$ была построена функция $q_s(t)$ при значения временных параметров: $\bar{\tau}_s = 10$ час., $\sigma_s = 2.5$ часа, $\bar{\tau}_m = 0.5$ часа, приведенная на рис. 1. Данный пример иллюстрирует применение изложенных подходов и показывает, что изучение хода кривой $q_s(t)$ позволяет выявить некоторые существенные особенности процесса регенерации печени крысы.

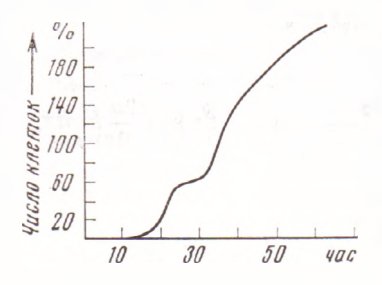


Рис. 1. Графическое изображение функции $q_{\rm S}(t)$ для паренхимных клеток регенерирующей печени, построенное по экспериментальным кривым $J_{\rm S}(t)$ и $J_{\rm M}(t)$ крыс линии Август при значениях временных параметров: $\bar{\tau}_{\rm S}=10$ час., $\sigma_{\rm S}=2,5$ часа, $\bar{\tau}_{\rm M}=0,5$ часа

1. Первоначально в цикл вступает только $\approx 60\%$ всей популяции гепатоцитов n(0), и к 26 часу скорость вступления клеток в S-фазу падает практически до нуля. Если все клетки этой фракции вступают в цикл одновременно, то начальный участок кривой $q_{\rm S}(t)$ будет функцией распределения этих клеток по длительности пререпликативного периода, отражая тем самым их синхронный выход из нулевой фазы. Действительно, анализ с этих позиций начального участка $q_{\rm S}(t)$ свидетельствует в пользу существования в фазе G_1 периода относительного покоя G_0 .

2. Скорость поступления гепатоцитов в S-фазу имет два ярко выраженных пика, следующих один за другим, из которых второй несколько выше

первого.

3. Всего за период наблюдения к синтезу ДНК приступает около 220% n(0) клеток, что естественно ожидать, так как в опытах Фабриканта удалялось $\approx^2/_3$ печени.

4. Функция q(t) по своему смыслу является неубывающей, и это свойство можно использовать для проверки возможности объяснения регенерации печени только за счет эндорепродукции клеток. В этом случае следует положить $J_{s}^{*}(t) = J_{s}(t)$ для всех t. Однако, как показали расчеты, при этом на кривой $q_{s}(t)$ появляются участки строгого убывания, а за период регенерации кривая $q_{s}(t)$, в этом предположении, не достигает даже уровня $100\,\%$ и, таким образом, не обеспечивает восстановления печени в соответствии с опытными данными. Разумеется, вывод не подразумевает, что процессы эндорепродукции в регенерирующей печени вообще отсутствуют.

Предлагаемый метод применим для анализа кинетики других клеточных систем со стимулированной или индуцированной пролиферацией.

Особое конструкторское бюро биологической и медицинской кибернетики Северо-Западного заочного политехнического института Ленинград

Поступило 29 I 1973

ЦИТИРОВАННАЯ ЛИТЕРАТУРА

¹ А. Ю. Яковлев, Цитология, 13, 1417 (1971). ² А. Ю. Яковлев, Цитология, 14, 685 (1972). ³ J. I. Fabrikant, J. Cell Biol., 36, 3, 551 (1968). ⁴ J. I. Fabrikant, Am. J. Roent., 105, 4, 734 (1969). ⁵ J. I. Fabrikant, Exp. Cell Res., 55, 2, 277 (1969). ⁸ P. N. Rao, J. Engelberg, Exp. Cell Res., 52, 198 (1968).